

تخمین زمان رشد و سرعت هسته بندی میکرولیت های پلازیوکلاز در بازالت گندم بریان کرمان

*رئیسی، داوود^۱، درگاهی، سارا^۲، معینزاده^۳، سید حسام الدین^۳، آدوبن، محسن^۳، امین پناهی^۳

۱- دانشجوی کارشناسی ارشد پترولئوژی، بخش زمین شناسی، دانشگاه شهید باهنر کرمان، ایران

۲- عضو هیئت علمی، بخش زمین شناسی، دانشگاه شهید باهنر کرمان، ایران

۳- کارشناسی ارشد زمین شناسی

davood.raeisi@gmail.com, s.dargahi@mail.uk.ac.ir,
hmoeinzade@mail.uk.ac.ir, arvin@mail.uk.ac.ir

چکیده:

گندم بریان نوعی سرتخت پوشیده از روانه های گذاره ای بسیار تیره رنگ است. این روانه ها که عموما از جنس آلکالی الیوین بازالت های تازه و به ندرت دگرسان با سن کواترنری می باشند، دارای بافت میکرولیتیک پورفیری تا گلومرولیتیک پورفیری با زمینه اینترسرتال تا اینترگرانولار هستند. میکرولیت های پلازیوکلاز به عنوان کانی غالب این سنگها شناخته می شوند. به منظور تعیین زمان رشد و سرعت هسته بندی بلورهای پلازیوکلاز، پراکندگی اندازه آنها با استفاده از روش اندازه گیری دوبعدی بلورها انجام شد و سپس نمودار لگاریتم طبیعی چگالی تراکمی (n) در برابر اندازه بلور (L) رسم گردید. بر طبق این محاسبات، زمان رشد (t) و سرعت هسته بندی (J) به ترتیب برابر با 3.01 تا 3.05 سال و $9.49 \times 10^{-9} \text{ mm}^{-3}/\text{s}^{-1}$ تا $10.17 \times 10^{-9} \text{ mm}^{-3}/\text{s}^{-1}$ بروآورد شد. نتایج حاصله با طبیعت مagmaهای آلکالی بازالتی همخوانی کامل دارد.

واژگان کلیدی: سرتخت، الیوین بازالت، پلازیوکلاز، چگالی تراکمی

Estimation of rate of nucleation and growth time of plagioclase microlites from Quaternary Gandom Beriyan basaltic lava flows, NE of Kerman

Abstract:

Gandom Beriyan is a kind of messa which is covered by very dark lava flows. The flows are commonly fresh to rarely altered Quaternary alkali olivine basalts and have microlitic porphyry to glomeroporphyry textures with an intersertal to intergranular groundmass. Plagioclase microlites are recognized as the major silicate phase in these rocks. In order to determination of the growth time and nucleation rate of plagioclase minerals, their crystal size distribution were calculated by using two-dimensional measurement method and then their \ln population density (n) versus crystal size (L) diagram was drawn. Based on these calculations, growth time (t) and rate of nucleation (J) were estimated 3.01 to 3.05 years and 9.49×10^{-9} to $10.17 \times 10^{-9} \text{ mm}^{-3}/\text{s}^{-1}$, respectively. The results are completely matched with nature of alkali basalt magmas.

Keywords: messa, olivine basalts, Plagioclase, population density

مقدمه :

تلور مagma موضوعی است که به نظر می رسد اولین بار توسط جیمز هال در سال ۱۸۰۵ بر اساس کارهای تجربی روی بافت ها مورد بحث قرار گرفت (کاشمن و مارش، ۱۹۸۸). در اندازه گیری بافتی تکنیکی که بیشتر متداول است CSD می باشد است. این تکنیک یک پنجره حیاتی به فرایندهای magmaی باز می کند؛ چرا که پراکندگی اندازه بلور منعکس کننده تاریخ تبلور آن است (هیگنر و رابرج، ۲۰۰۳).

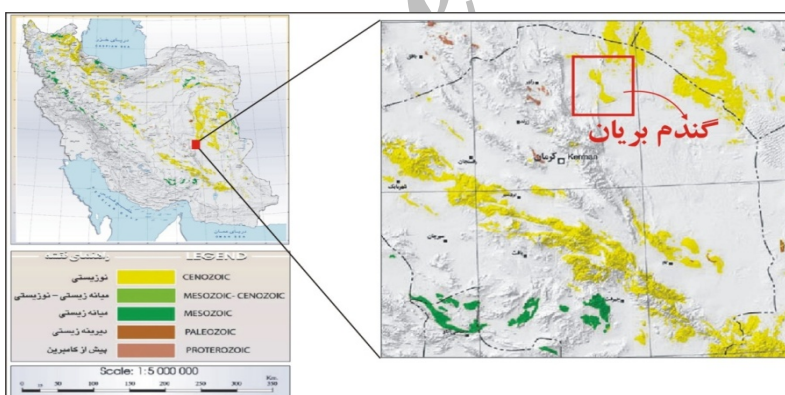
تئوری پراکندگی اندازه بلور یا CSD اولین بار توسط راندولف ولارسن (۱۹۷۱) ارائه شد و اولین کاربرد زمین شناسی این تئوری توسط کاشمن و مارش (۱۹۸۸) در دریاچه گذاره ای ماکوپولی انجام شد (هیگنر، ۱۹۸۸؛ مورگان و جرام، ۲۰۰۶).

برای محاسبه پراکندگی اندازه بلور در سنگ‌ها مارش (1988) و کاشمن و مارش (1988) تئوری ارائه دادند که لگاریتم طبیعی چگالی تراکمی بلور n در برابر طول بلور رسم می‌شود و خط حاصل CSD نامیده می‌شود (کاسترو و کاشمن، ۲۰۰۳). این روش به طور وسیع در تفسیر فرایندهای ماگمایی از بافت‌های مشاهده شده در سنگ آذربین درونی و بیرونی مورد استفاده قرار گرفته است. در مقوله سنگهای آذربین، CSD ممکن است اطلاعاتی از تاریخچه سرد شدن، نرخ رشد بلورها و فرایندهای ماگمایی همچون دمای سکونت و هضم بلورها را فراهم کند. همچنین CSD ممکن است برای پی‌بردن به دینامیک مخزن ماگمایی و جزئیات تاریخچه فوران هم به کار رود. پارامترهای بافی همچون اندازه غالب بلورها، چگالی بلورها و حجم جزئی بلورها از سیر قهقرایی خط CSD مشتق گرفته می‌شوند (مارش، ۱۹۹۸؛ کاسترو و کاشمن، ۲۰۰۳؛ هیگینز، ۲۰۰۰؛ کاشمن و مارش، ۱۹۸۸؛ هیگینز، ۱۹۹۴؛ جرام و مک، ۲۰۰۵؛ هیگینز، ۱۹۹۶؛ هیگینز، ۲۰۰۶؛ جرام و مارش، ۲۰۰۷). شناسایی مراحل مجزا سرد شدن ماگما برای مشخص کردن اینکه انجام‌داد ماگما از یک سیستم بلور منفرد یا سیستم انجام‌داد با دو بلور متفاوت (اختلاط ماگمایی و...) حاصل شده است نیز با این تکنیک قابل بررسی است (منفردی و مسعودی، ۲۰۰۹).

بحث:

- زمین شناسی عمومی

گندم بريان نوعی سرتخت (messa) پوشیده از گذازه‌های بازالتی است. اين منطقه بخشی از ولکانیسم درون قاره‌اي کواترنری ايران است که در قسمت جنوبی کوير لوت در شمال شرق شهر كرمان قرار دارد. ساز و كارهای مختلفی برای ذوب گوشه و ایجاد ماگمای قلایی اين ناحیه می‌توان ذکر کرد که مهمترین آنها حرکت گسل نای بند به صورت امتداد لغز، ایجاد سیستم کم فشار و کششی و به موجب آن شکستگی عمیق پوسته‌ای است که خروج سریع مذاب بازی را حاصل کرده است. ماگمای حاصل منطقه‌ای به وسعت 350 کیلومتر مربع و ضخامت تقریبی 4 متر را در بخش جنوبی کوير لوت می‌پوشاند (شکل ۱).



شکل (۱) نقشه پراکندگی سنگ آتش فشانی بر پایه سن

- سنگ شناسی:

به طور کلی جریانهای گذازه‌ای گندم بريان عموماً دارای الیوین و فاقد فلدسپار پتاسیم و حاشیه واکنشی از جنس ارتوپیر و کسن به دور بلور الیوین هستند که این مسئله میان قلایی و تحت اشباع از سیلیس بودن این روانه‌ها می‌باشد. بافت کلی سنگها عمدتاً میکرولیتیک پورفیری و گلومرپورفیری با زمینه ایترسرتال است.

کانی غالب نمونه‌ها، میکرولیت‌های پلازیوکلاز می‌باشند که در برخی مقاطع، یک منطقه بندی ضعیف در آنها قابل مشاهده است. بلورهای الیوین نیز به صورت خودشکل تا گرد شده همراه با بافت‌های خلیجی و اسکلتی دیده می‌شوند. کریستال‌های الیوین بر خلاف میکرولیت‌های پلازیوکلاز دارای تعداد کمتر و اندازه بزرگتر هستند که این مسئله به علت سرعت رشد بالاتر بلورهای

الیوین در قیاس با سرعت هسته بندی آنهاست. فاز کانیابی متداول دیگر کلینوپیروکسن است که ندرتاً دارای منطقه بندی ساعت شنی است. این حالت معمولاً در سنگ‌ها بی متداول است که سریع سرد شده‌اند (ورنون، ۲۰۰۴).

- روش مطالعه:

برای تعیین سن دو روش به کار گرفته شد:

روش اول: با استفاده از اندازه گیری دوبعدی بلور (اقتباس از مارش، ۱۹۸۸)

برای تعیین میانگین زمان اقامت بلور در سیستم (t)، بعد از تهیه عکس دیجیتالی، میکرولیت‌ها به طور مجزا رسم و اندازه گیری شدند. تعداد بلورهای اندازه گیری شده ۵۱۹ عدد می‌باشد. با توجه به اطلاعات به دست آمده از شکل، فراوانی و اندازه بلورها، نمودار لگاریتم طبیعی چگالی تراکمی (Population density) در برابر محور بلند بلور ترسیم شد. واحد اندازه گیری بلورها $\ln(\text{mm}^{-4})$ برابر می‌باشد (شکل).

$$n = n_0 \exp(-L/Gt)$$

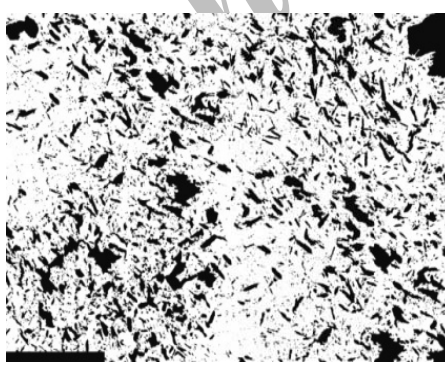
معادله کلی چگالی تراکمی بلور برابر است با:

G میانگین نرخ رشد خطی و (t) میانگین زمان اقامت بلور در سیستم است.

بر اساس فراوانی رده‌های مختلف و تراکم بلورها، نمودار لگاریتم طبیعی چگالی تراکمی (n) در برابر اندازه بلور (L) رسم می‌شود. شبیه این نمودار مساوی با $\frac{-1}{Gt}$ است و نقطه تقاطع آن با محور چگالی تجمعی، با چگالی هسته بندی (n_0) که یک کمیت ثابت است برابر می‌باشد. در اینجا $L=0$ است و می‌توان معادله سرعت هسته بندی (J) در لحظه توقف بلور را مشخص کرد که J از معادله $J=n_0/G$ حاصل می‌شود.

روش دوم: پس از تعیین شکل سه بعدی بلور، (با استفاده از روش مدل سازی عددی) با نرم افزار (1.39)، (csd corrections)، نمودار رسم و میانگین زمان اقامت بلور در سیستم مشخص می‌شود.

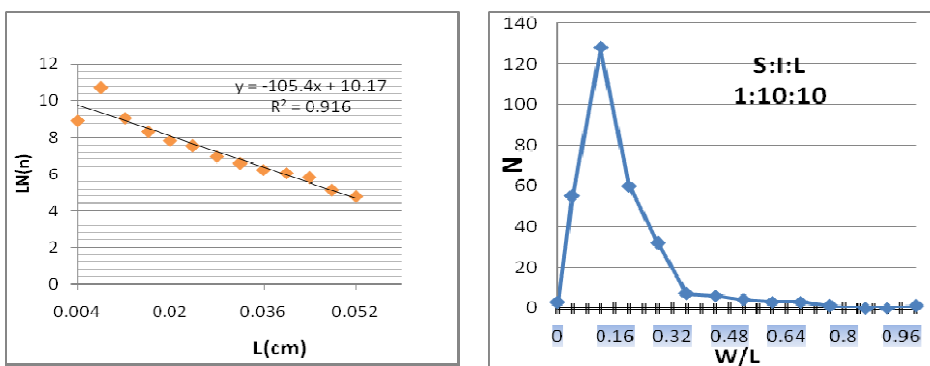
بر طبق این محاسبات، زمان رشد (t) و سرعت هسته بندی (J) برای بازالت‌های گندم بربان به ترتیب برابر با 3.01 سال و $10.17 \times 10^{-9} \text{ mm}^{-3}/\text{s}$ بر اساس روش اول و 3.05 سال و $9.49 \times 10^{-9} \text{ mm}^{-3}/\text{s}$ بر اساس روش دوم برابر شد که تفاوت چندانی با هم ندارند.



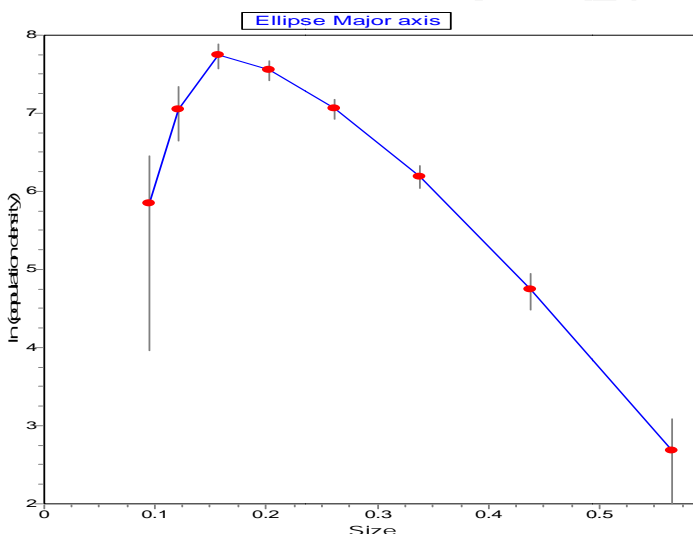
شکل(۳) تصویر پردازش شده



شکل(۲) نمونه الیوین بازالت در نور پلاریزه



شکل(۴) تخمین اندازه بلورها (محور کوتاه، متوسط، بلند) شکل(۵) نمودار چگالی تراکمی بلور(n) در برابر طول بلور(L)



شکل(۶) نمودار حاصل از نرم افزار (csd correction 1.39)

روش	شیب	عرض از مبدأ	زمان (t)	سرعت هسته بندي ($J=\text{mm}^{-3}/\text{s}^{-1}$)	سرعت رشد (mm/s^{-1})
اول	- 105.4	10.17	3.01 سال	10.17×10^{-9}	$10^{-10} \text{ cm/s}^{-1}$
دوم	-10.4	9.49	3.05 سال	9.49×10^{-9}	$10^{-9} \text{ mm/s}^{-1}$

نتیجه گیری:

کاشمن نرخ رشد پلازیو کلاز در ماقمای بازالتی را بررسی کرد و متوجه شد نرخ سرد شدن متغیر و برای یک نرخ سرد شدن ۳ ساله، نرخ رشد mm/s^{-9} و برای سرد شدن ۳۰۰ ساله، نرخ رشد mm/s^{-10} می باشد. نتایج حاصل از محاسبات انجام شده بر روی پلازیو کلازهای موجود در بازالتها گندم بریان نیز با این مسئله مطابقت دارد. به طور کلی ماقمایی که چسبندگی بالاتر دارند نرخ انتشار کمتری خواهند داشت. زمان سکونت حاصل از روش اول در اینجا به دلیل برابر بودن محور متوسط و محور بلند، تفاوت زیادی با زمان سکونت به دست آمده از نرم افزار *csd correction* ندارد. لازم به ذکر است که میکرولیت ها عمدتاً فرم تخته ای دارند و به ندرت در اندازه بزرگ و منشوری می باشند؛ اما در حقیقت اندازه سه بعدی بلور بایستی بر اساس مطالعات پتروفابریکی به دست آید تا تخمین نزدیکتری برای زمان سرد شدن و بلور بلورها فراهم شود. علت اصلی پرشیب بودن منحنی، سرعت زیاد سرد شدن ماقمای بازالتی می باشد که به تشکیل میکرولیت های کوچک منجر شده است. با توجه به آنکه ماقمایی که چسبندگی کمتر دارند نرخ انتشار بیشتر دارند؛ لذا در بازالتها گندم بریان با توجه به چسبندگی کم آنها، قابلیت هسته بندي زیاد بوده است؛ اما بلورها رشد کمی حاصل کرده اند. به عبارتی سرعت رشد بلورهای آنها از سرعت هسته بندي شان بیشتر است.

Reference:

- Cashman, K.V., Marsh, B.D., 1988. Crystal size distribution (CSD) in rocks and the kinetics and dynamics of crystallisation II. Makaopuhi Lava Lake. Contributions to Mineralogy and Petrology, 99, 292–305.
- Evans, S.H., Nash. W.P., 1979. Petrogenesis of xenolith-bearing basalts from southeastern Arizona. American Mineralogist, 64, pages 249-267.
- Higgins, M.D., 1994. Numerical modeling of crystal shapes in thin sections: estimation of crystal habit and true size. American Mineralogist, 79, 113–119.
- Higgins, M.D., 1994. Determination of crystal morphology and size from bulk measurements on thin sections: numerical modeling. American Mineralogist, 79, 113–119.
- Higgins, M.D., 1996. Magma dynamics beneath Kameni Volcano Thera Greece, as revealed by crystal size and shape measurements. Journal of Volcanology and Geothermal Research, 70, 37-48.
- Higgins, M.D., 2000. Measurement of crystal size distributions. American Mineralogist, 85, 1105- 1116.
- Higgins, M.D., Roberge, J., 2003. Crystal size distribution (CSD) of plagioclase and amphibole from Soufriere Hills volcano, Montserrat: evidence for dynamic crystallization textural coarsening cycles. Journal of Petrology, 44, 1401-1411.
- Higgins, M.D., 2006. Quantitative textural measurement in igneous and metamorphic petrology. Cambridge university press, 265pp.
- Marsh, B., 1988. Crystal size distribution (CSD) in rocks and the kinetics and dynamics of crystallization I. Theory Contributions to Mineralogy and Petrology, 99, 277–291.
- Marsh, B.D., 1988. On the Interpretation of Crystal Size Distributions in Magmatic Systems. Journal of Petrology, 39, 553–599.



- Mock, A., Jerram, D.A., 2005. Crystal Size Distributions (**CSD**) in Three Dimensions: Insights from the 3D Reconstruction of a Highly Porphyritic Rhyolite. *Journal of Petrology*, 46, 1-17.
- Monfaredi, B., Masoudi, F., Tabbakh, A.A., 2009. Magmatic Interaction as Recorded in Texture and Composition of Plagioclase Phenocrysts from the Sirjan Area, Urumieh-Dokhtar Magmatic Arc, Iran. *Journal of Sciences, Islamic Republic of Iran*, 20, 243-251.
- Morgan, D.J., Jerram, D.A., 2006. On estimating crystal shape for crystal size distribution analysis. *Journal of Volcanology and Geothermal Research*, 154, 1-7.
- Vernon, A.H., 2004. *A Practical Guide to Rock Microstructure*. Cambridge University Press, 579pp.

Archive of SID